

Автоматизированное распараллеливание задачи моделирования распространения упругих волн в средах со сложной 3D геометрией поверхности на кластеры разной архитектуры*

Н.А. Катаев¹, А.С. Колганов^{1,2}, П.А. Титов³

Институт прикладной математики им. М.В. Келдыша РАН¹, Факультет вычислительной математики и кибернетики МГУ им. М.В. Ломоносова², Институт вычислительной математики и математической геофизики СО РАН³

В работе рассмотрено применение систем DVM и САПФОР для автоматизации отображения задачи моделирования трехмерных упругих волн на высокопроизводительные кластеры различной архитектуры. Отличительной особенностью данной задачи является использование криволинейной трехмерной сетки, которая хорошо согласуется с геометрией строения свободной поверхности. Но использование криволинейных сеток значительно усложняет как ручное, так и автоматизированное распараллеливание. Для решения данной проблемы был предложен метод отображения криволинейной поверхности на структурированную сетку. Последовательная программа, использующая метод конечных разностей на структурированной сетке, была отображена в параллельную программу на языке Fortran-DVMH с использованием инструментов анализа системы САПФОР. Рассмотрены особенности автоматизированного распараллеливания. Представлены результаты эффективности и ускорения параллельной Fortran-DVMH программы, а также сравнение производительности полученной программы с ручным распараллеливанием с использованием технологии MPI.

Ключевые слова: Автоматизация распараллеливания, гетерогенный вычислительный кластер, инкрементальное распараллеливание, теория упругости, 3D моделирование, криволинейная сетка, ГПУ, Xeon Phi

1. Введение

Моделирование трехмерных упругих волн в средах различного строения является важным аспектом создания геофизических трехмерных моделей и изучения особенностей волновых полей. Решить обратную задачу геофизики (восстановление строения и параметров среды по экспериментально полученным записям сигналов) зачастую очень сложно, и одним из методов является решение набора прямых задач (моделирование сейсмополей в среде с заданными параметрами и строением) с варьированием значений параметров и геометрии среды при сравнении реальных данных с результатами моделирования.

Широко используемый метод для решения прямой задачи – метод конечных разностей [1–4]. Отметим, что исследуемая область может иметь сложную геометрию трехмерной поверхности, поэтому важным отличительным моментом рассматриваемой задачи является построение криволинейной трехмерной сетки. Например, объектом исследования может быть магматический вулкан. Изучение строения среды и мониторинг подобного объекта является важной практической задачей, требующей больших вычислительных мощностей для достаточно быстрого получения результата. Теория построения и применения криволинейных сеток для решения реальных задач хорошо описана в работах [5–7].

Подобный подход к численному моделированию упругих волн подразумевает работу

*Работа выполнена при поддержке грантов РФФИ 14-01-00109, 16-07-01067, 16-37-00266, 16-01-00455, 16-07-00434, а также программы фундаментальных исследований РАН 4.9 "Модельные и экспериментальные исследования вулканических структур методами активной и пассивной сейсмологии".

с большим количеством 3D данных. Учитывая масштабы области при решении реальных задач (сотни километров в каждом координатном направлении), задача численного моделирования становится не выполнима на персональной рабочей станции даже с установленным в ней графическим процессором.

Поэтому возникает повышенный интерес к использованию многоядерных и гибридных многопроцессорных вычислительных систем для достижения максимальной производительности при расчете вычислительно-емких задач подобного класса. При этом умение писать параллельные программы, способные эффективно выполняться на таких системах, граничит с искусством и требует от программиста знания не только используемых программных моделей, но и особенностей аппаратуры, на которой будет выполняться разрабатываемая параллельная программа. Ситуация особенно усложнилась с появлением широко используемых архитектур, таких как графические ускорители NVidia или сопроцессоры Intel Xeon Phi. С целью задействовать все уровни параллелизма при разработке эффективных параллельных программ одновременно должны быть использованы различные технологии параллельного программирования (MPI, OpenMP, CUDA, OpenACC, OpenCL и др.).

Еще более непростой ситуация становится при попытке отобразить ранее написанный последовательный код на параллельную архитектуру. Зачастую требуется значительное изменение подлежащих распараллеливанию участков, которые в противном случае не могут быть выполнены параллельно. Особенно важным оказывается вопрос поддержки двух версий программы: последовательной и параллельной. Изменение в последовательной версии программы (например, оптимизация существующего метода или внедрение нового метода) может повлечь за собой серьезные изменения в параллельной программе.

Разработка инструментов, способных оказывать помощь программисту при решении этих задач, а тем более, разработка инструментов, способных решать указанные проблемы в автоматизированном режиме, может внести значительный вклад в развитие отрасли суперкомпьютерных вычислений и способна значительно снизить трудозатраты на распараллеливание существующих и разработку новых программ.

Автоматизированное распараллеливание полагается на возможность выявления участков программного кода, которые могут быть выполнены параллельно, и, следовательно, требует выполнения точного статического и, возможно, динамического анализов исходного кода программы, определения зависимостей по данным и по управлению, присутствующих в ней.

Применение интерактивных систем вносит значительный вклад в автоматизацию параллельного программирования [11–16]. Некоторые системы включают в свой состав автоматически распараллеливающие компиляторы [14, 15], другие ориентированы на исследование программы статическими и/или динамическими методами и предполагают, что распараллеливание программы (преобразование исходного кода, расстановка директив параллельного программирования и др.) выполняется пользователем вручную [11]. В системе САПФОР [14] используются средства статического и динамического анализа для отображения последовательных программ в первую очередь на кластеры с распределенной памятью. Данная система помогает перевести последовательную пользовательскую программу в параллельную программу в модели DVMH [17, 18].

Раздел 2 включает в себя математическую постановку трехмерной задачи, а также описание метода отображения криволинейной сетки на структурированную. Раздел 3 описывает особенности реализации параллельной версии программы с использованием технологии MPI. В разделе 4 рассматриваются особенности отображения последовательной программы в параллельную программу на языке Fortran-DVMH [18]. В разделе 5 представлены результаты запусков параллельных программ на кластерах различной архитектуры. Исследованы слабая и сильная масштабируемости параллельных алгоритмов, произведено сравнение DVMH-версии программы и программы, написанной с использованием только MPI.

2. Математическая постановка задачи

Решение прямой задачи геофизики связано с решением системы уравнений теории упругости в трехмерной области. В данной работе рассматриваются упругие волны. Модель среды задаётся тремя параметрами: коэффициентами Ламэ λ, μ и плотностью ρ . Например, в работе [1] уравнения представлены в терминах скоростей смещений. В такой постановке необходимо работать с системой из 9 уравнений и, следовательно, с 9 параметрами на стадии численной реализации. Использование подобного подхода было бы достаточно ресурсоемким. Поэтому было принято решение использовать систему, которая описывается с помощью трех компонент вектора смещений $(u, v, w)^T$, так как такой способ является более оптимальным с точки зрения использования оперативной памяти и времени счета.

2.1. Уравнения теории упругости в смещениях

Для решения прямой задачи необходимо построить трехмерную модель рассматриваемой среды: определить размеры и форму области, а также задать параметры λ, μ, ρ для каждой из составляющих частей среды (среда может быть неоднородной). Обозначим через $\partial\Gamma$ границу области по бокам и снизу, а через ∂S – свободную криволинейную поверхность.

В декартовой системе координат в переменных (x, y, z) уравнения имеют вид:

$$\begin{aligned} \rho \frac{\partial^2 u}{\partial t^2} &= \frac{\partial}{\partial x} \left((\lambda + 2\mu) \frac{\partial u}{\partial x} + \lambda \frac{\partial v}{\partial y} + \lambda \frac{\partial w}{\partial z} \right) + \frac{\partial}{\partial y} \left(\mu \frac{\partial u}{\partial y} + \mu \frac{\partial v}{\partial x} \right) + \frac{\partial}{\partial z} \left(\mu \frac{\partial u}{\partial z} + \mu \frac{\partial w}{\partial x} \right) + F_x \\ \rho \frac{\partial^2 v}{\partial t^2} &= \frac{\partial}{\partial x} \left(\mu \frac{\partial u}{\partial y} + \mu \frac{\partial v}{\partial x} \right) + \frac{\partial}{\partial y} \left(\lambda \frac{\partial u}{\partial x} + (\lambda + 2\mu) \frac{\partial v}{\partial y} + \lambda \frac{\partial w}{\partial z} \right) + \frac{\partial}{\partial z} \left(\mu \frac{\partial v}{\partial z} + \mu \frac{\partial w}{\partial y} \right) + F_y \\ \rho \frac{\partial^2 w}{\partial t^2} &= \frac{\partial}{\partial x} \left(\mu \frac{\partial u}{\partial z} + \mu \frac{\partial w}{\partial x} \right) + \frac{\partial}{\partial y} \left(\mu \frac{\partial v}{\partial z} + \mu \frac{\partial w}{\partial y} \right) + \frac{\partial}{\partial z} \left(\lambda \frac{\partial u}{\partial x} + \lambda \frac{\partial v}{\partial y} + (\lambda + 2\mu) \frac{\partial w}{\partial z} \right) + F_z \end{aligned} \quad (1)$$

где F_x, F_y, F_z – компоненты массовой силы.

Граничные условия и начальные нулевые условия имеют вид:

$$u|_{\partial\Gamma} = v|_{\partial\Gamma} = w|_{\partial\Gamma} = 0, \quad \frac{\partial u}{\partial t} = \frac{\partial v}{\partial t} = \frac{\partial w}{\partial t} = 0 \quad (2)$$

Условия на свободной поверхности ∂S :

$$\begin{aligned} n_x \left((\lambda + 2\mu) \frac{\partial u}{\partial x} + \lambda \frac{\partial v}{\partial y} + \lambda \frac{\partial w}{\partial z} \right) + n_y \left(\mu \frac{\partial u}{\partial y} + \mu \frac{\partial v}{\partial x} \right) + n_z \left(\mu \frac{\partial u}{\partial z} + \mu \frac{\partial w}{\partial x} \right) &= 0 \\ n_x \left(\mu \frac{\partial u}{\partial y} + \mu \frac{\partial v}{\partial x} \right) + n_y \left(\lambda \frac{\partial u}{\partial x} + (\lambda + 2\mu) \frac{\partial v}{\partial y} + \lambda \frac{\partial w}{\partial z} \right) + n_z \left(\mu \frac{\partial v}{\partial z} + \mu \frac{\partial w}{\partial y} \right) &= 0 \\ n_x \left(\mu \frac{\partial v}{\partial z} + \mu \frac{\partial w}{\partial y} \right) + n_y \left(\mu \frac{\partial v}{\partial z} + \mu \frac{\partial w}{\partial y} \right) + n_z \left(\lambda \frac{\partial u}{\partial x} + \lambda \frac{\partial v}{\partial y} + (\lambda + 2\mu) \frac{\partial w}{\partial z} \right) &= 0 \end{aligned} \quad (3)$$

где (n_x, n_y, n_z) – единичный вектор нормали к свободной поверхности в каждой точке. Найдя решение системы из трех уравнений (1) с учетом начально-краевых условий (2) и (3), можно определить значения компонент вектора смещений $(u, v, w)^T$.

2.2. Преобразование криволинейной сетки в структурированную сетку

В данной работе используется построение криволинейной трехмерной сетки для расчетной области. Важнейшим моментом является ортогональность ребер ячеек возле свободной поверхности: все пересекающиеся ребра каждой криволинейной ячейки возле поверхности локально-ортогональны. Это означает, что в каждой точке поверхности вертикальные ребра ячеек перпендикулярны плоскости касательной к поверхности в этой точке (Рис. 1). В этих же точках ортогональны и ребра, соответствующие горизонтальным направлениям.

Такой подход для решения подобных динамических задач геофизики позволяет увеличить точность аппроксимации граничных условий для численного решения задачи (для случая произвольной формы поверхности с первого порядка при использовании регулярной гексаэдральной сетки до второго порядка при использовании криволинейных ячеек). Наиболее предпочтительным в данном случае оказался метод трансфинитной интерполяции [5]. После построения сетки нужно преобразовать уравнения для новой системы координат (q^1, q^2, q^3) , где сетка является регулярной гексаэдральной. После замены $(x, y, z) \rightarrow (q^1, q^2, q^3)$, уравнения (1)-(3) примут новый вид. Покажем для примера только преобразование (1) для координаты X:

$$\begin{aligned} \rho \frac{\partial^2 u}{\partial t^2} = & \sum_{j=1}^3 \frac{\partial q^j}{\partial x} \frac{\partial}{\partial q^j} \left((\lambda + 2\mu) \sum_{i=1}^3 \frac{\partial q^i}{\partial x} \frac{\partial u}{\partial q^i} + \lambda \sum_{i=1}^3 \frac{\partial q^i}{\partial y} \frac{\partial v}{\partial q^i} + \lambda \sum_{i=1}^3 \frac{\partial q^i}{\partial z} \frac{\partial w}{\partial q^i} \right) + \\ & \sum_{j=1}^3 \frac{\partial q^j}{\partial y} \frac{\partial}{\partial q^j} \left(\mu \sum_{i=1}^3 \frac{\partial q^i}{\partial y} \frac{\partial u}{\partial q^i} + \mu \sum_{i=1}^3 \frac{\partial q^i}{\partial x} \frac{\partial v}{\partial q^i} \right) + \\ & \sum_{j=1}^3 \frac{\partial q^j}{\partial z} \frac{\partial}{\partial q^j} \left(\mu \sum_{i=1}^3 \frac{\partial q^i}{\partial z} \frac{\partial u}{\partial q^i} + \mu \sum_{i=1}^3 \frac{\partial q^i}{\partial x} \frac{\partial w}{\partial q^i} \right) + F_x \end{aligned} \quad (4)$$

Уравнения (2) не изменятся, (3) преобразуются аналогично (1). Таким образом, мы получаем новый вид уравнений, на основе которых далее строится алгоритм решения задачи. Численное решение задачи производится на основе метода конечных разностей. Этот метод зарекомендовал себя хорошо для создания на его основе эффективного параллельного алгоритма [9, 10]. Для уравнений (4) строится разностный аналог. За основу берутся формулы из работы [8], адаптированные для трехмерного случая. Схема имеет второй порядок аппроксимации по пространству и по времени.

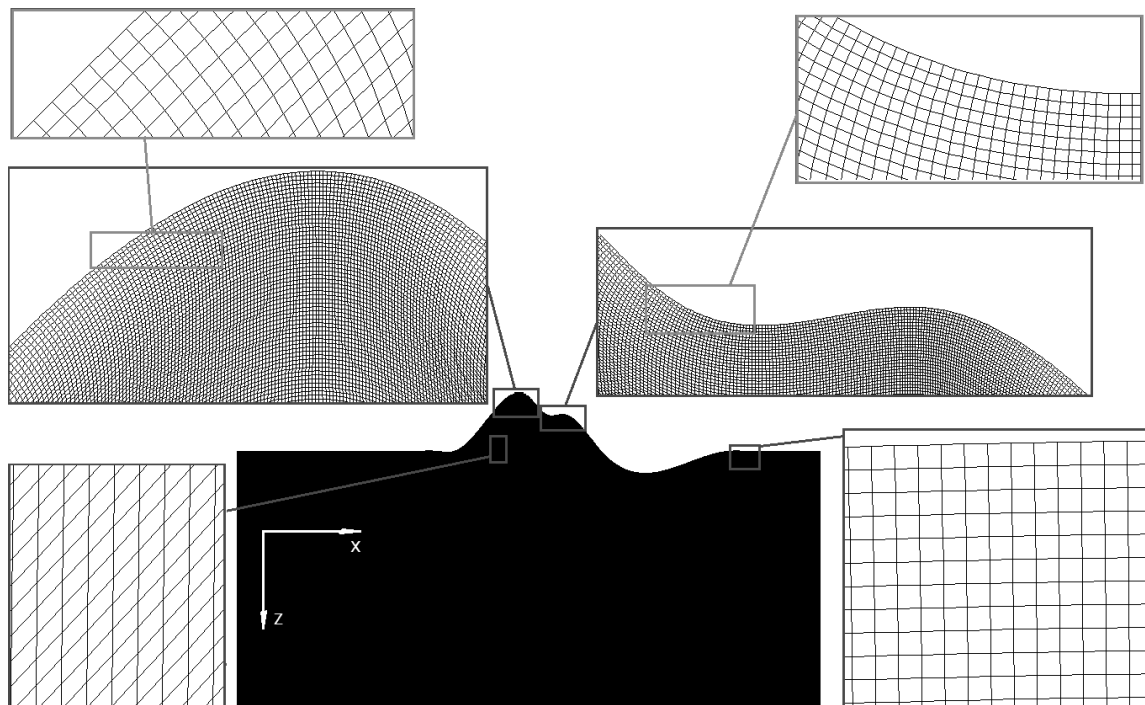


Рис. 1. Пример преобразования криволинейной сетки, 2D-срез

3. Особенности реализации параллельной версии программы с использованием MPI

Численный алгоритм построен на основе широко известного метода конечных разностей, как это было отмечено выше. Для проведения параллельных расчетов для каждого блока необходимо разместить и хранить в оперативной памяти девять трехмерных массивов со значениями для компоненты смещений u, v, w , параметры среды λ, μ, ρ , а также координаты узлов криволинейной сетки X, Y, Z . Были разработаны две последовательные программы для построения сетки и реализации расчетов по разностной схеме для задачи (4) с использованием языка Fortran 95, а также соответствующие им две параллельные программы с использованием технологии MPI. Обе последовательные (а также параллельные) программы были объединены в одну последовательную (параллельную) программу. Данный подход позволил строить сетку «на лету», а не считывать ее из файла, так как операции с диском выполняются достаточно долго.

Для массивов u, v и w нужно организовать обмен данными между соседними блоками, так называемыми теневыми гранями. Каждый блок имеет теньевые грани, в которые он принимает данные от своих соседей. Соответственно свои данные он шлет в аналогичные теньевые грани своих соседей. Коммуникации осуществляются через созданную 3D-топологию с помощью средств MPI. Каждому вычислительному процессу присваивается тройка номеров – декартовы координаты внутри трехмерной топологии.

Важно отметить, что пересылки осуществляются не только между процессами, соседними по одному из координатных направлений (q^1, q^2, q^3). Обмен данными ведется также между процессами, соседствующими по всем диагональным направлениям. На Рис. 2 можно видеть представление теньевых граней для одного блока, который располагается в памяти одного процесса. Разными цветами обозначены принимаемые данные с разных направлений. Общее количество пересылок в случае трехмерной декомпозиции используемых процессов равно 26. Использование метода конечных разностей позволяет осуществлять обмен дан-

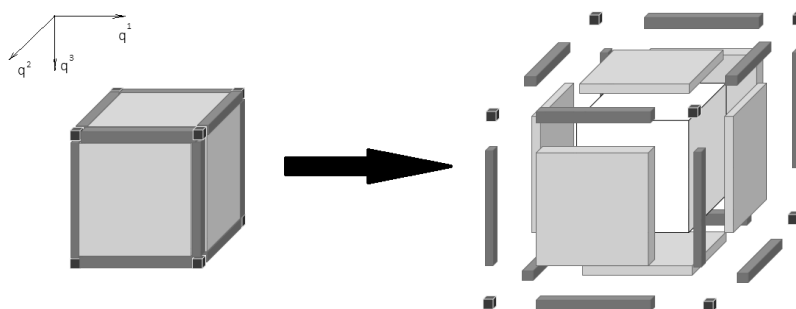


Рис. 2. Слои перекрытия

ными между процессами при помощи неблокирующих пересылок MPI_Isend и MPI_Irecv. При этом используется буферный массив, куда копируются значения u, v и w , что позволяет для двух соседних блоков все данные переслать в одном сообщении вместо трех. Вычисление компонент u, v и w для каждого блока разбито на 2 независимые части: внутренняя часть блока и вычисление граней блока, которые являются теньевыми гранями для соседних процессов. Данное разбиение сделано для того, чтобы наиболее быстро запустить асинхронные обмены.

4. Распараллеливание программы с помощью систем САПФОР и DVM

4.1. Использование статического анализатора САПФОР

Система автоматизированного распараллеливания САПФОР [14] включает набор инструментов, ориентированных на то, чтобы снизить трудозатраты прикладного программиста на разработку параллельной версии его последовательной программы. Система САПФОР позволяет выполнять распараллеливание для гетерогенных вычислительных кластеров в модели DVMH, в данный момент поддерживается язык Fortran-DVMH. Данная система применялась для статического исследования свойств программной реализации предложенного последовательного алгоритма, характеризующих его информационную структуру. Были исследованы зависимости по данным, присутствующие в программе, и выполнены их классификация по рекомендуемому способу их устранения. Полученные результаты были исследованы с помощью интерактивной диалоговой оболочки. Рассмотрим разновидности зависимостей по данным, выявление которых поддерживается в системе САПФОР.

Одним из видов зависимостей являются обратные зависимости (ANTI) и зависимости по выходу (OUTPUT), которые могут быть устранены с помощью приватизации переменных. В DVMH-языках для устранения этих зависимостей используются спецификации PRIVATE с указанием списка переменных. При выполнении программы на системах с распределенной памятью данные спецификации не требуются, так как каждый узел обладает своей отдельной памятью, но при распараллеливании внутри узла, где память является общей, или при выполнении расчетов на ускорителях отсутствие данных спецификаций приведет к гонкам данных (RACE CONDITION).

Источником приватных переменных в основном являются вычисления, локализованные в рамках одной итерации параллельного цикла, в этом случае такие переменные используются как место хранения промежуточных результатов вычислений. При большом объеме вычислений в рамках одного цикла количество промежуточных данных может оказаться значительным и затруднит ручное задание спецификации PRIVATE. Например, в параллельной DVMH-версии разработанного алгоритма количество объявленных приватных переменных в рамках одного цикла доходило до 53. Автоматическая генерация таких спецификаций, а также проверка корректности заданных программистом указаний позволяют снизить затраты на разработку и отладку параллельной программы [19]. Так, объявление в параллельном цикле переменной, которая используется только на чтение, в списке приватных переменных приведет к ошибочным вычислениям в программе, которые обнаружить очень трудно.

Еще одним источником устранимых зависимостей являются операции редукции в циклах, например, определение максимального элемента массива или вычисление суммы всех элементов массива. Данные операции порождают прямую зависимость (FLOW) за счет того, что накапливают результат вычислений в некоторой переменной: для вычисления нового значения данной переменной необходимо ее значение, посчитанное на предыдущей итерации цикла. Особенностью редукционных операций является их ассоциативность, например, вычисление выражения $((A+B)+C)+D$ можно выполнять в другом порядке $(A+B)+(C+D)$ и делать это параллельно. Система САПФОР помогла выявить операции редукции в распараллеливаемой программе, применяемые для нахождения минимума среди множества выражений, зависящих от элементов нескольких массивов. В DVMH-языках операция редукции задается с помощью спецификации REDUCTION.

Другой интересной возможностью системы САПФОР является диагностирование регулярных зависимостей в циклах программы. К таким зависимостям относятся прямые зависимости (FLOW), расстояние которых ограничено некоторой константой, определяющей количество предшествующих итераций цикла, необходимых для выполнения данной итера-

ции. Параллельное выполнение программ с такого вида зависимостями поддерживается на уровне DVMH-языков с помощью задания спецификации ACROSS, указывающей компилятору на необходимость организации конвейерного выполнения цикла. Статический анализ в системе САПФОР не выявил зависимостей данного вида в последовательной реализации разработанного алгоритма.

Статический анализ как этап автоматического распараллеливания обладает существенным недостатком: необходимостью принятия консервативных решений. Это означает, что если невозможно достоверно гарантировать отсутствие зависимости, с целью обеспечения корректного выполнения программы принимается решения о ее наличии. Применение статического анализа как средства диагностирования зависимостей в совокупности с интерактивной оболочкой системы САПФОР и последующим ручным распараллеливанием с помощью директив языка Fortran-DVMH позволило обойти указанную трудность. Стоит отметить, что использование ко-дизайна при разработке предложенного алгоритма обеспечило минимальное количество ложных срабатываний статического анализа (в 6% циклов). Появление ложных зависимостей в основном было вызвано наличием операторов ветвления в программе, для которых анализ не смог определить условие перехода. В более сложных ситуациях система САПФОР допускает применение динамического анализа, который определяет отсутствие зависимостей при запуске программы на определенных наборах данных. Интерактивная оболочка системы позволяет исследовать результаты динамического анализа.

4.2. Создание параллельной программы в модели DVMH

Для распараллеливания программы в модели DVMH необходимо расставить DVMH-директивы распределения (DISTRIBUTE) и выравнивания (ALIGN) данных, а также для каждого цикла, в котором используются распределенные данные, расставить директиву PARALLEL. Директива PARALLEL позволяет отобразить итерационное пространство цикла на индексное пространство распределенного массива (выполнять виток цикла необходимо на том процессоре, где находятся локальная часть распределенного массива). При необходимости нужно добавить к директиве PARALLEL клаузы: REDUCTION для указания редукционных зависимостей, PRIVATE для указания приватных переменных, ACROSS для указания регулярных зависимостей по данным, SHADOW_RENEW для выполнения перед данным циклом теневого обмена. Более подробно пример распараллеливания простой программы рассмотрен на сайте DVM-системы [20].

Для того, чтобы понять как связаны между собой массивы, необходимо проанализировать все циклы программы. DVMH-модель требует выполнения правила собственных вычислений при выполнении параллельного цикла. Правило собственных вычислений говорит о том, что процессор должен производить изменения только тех данных, которые у него имеются. Таким образом достаточно проанализировать связь параметров цикла с индексными выражениями массивов, в которые осуществляется запись в этом цикле. По полученной информации со всех циклов можно определить, как необходимо связать массивы между собой, чтобы минимизировать обмены между процессами.

Всего в программе используются более 100 массивов. Но не все массивы можно сделать распределенными. Перевод криволинейной поверхности в структурированную сетку требует размножения некоторых вычислений и данных, так как данный алгоритм использует косвенную адресацию, которая не поддерживается моделью DVMH. Количество распределенных массивов в данной программе составило 51. Так как программист заранее знает конфигурацию массивов, используемых в программе, можно однозначно определить выравнивание всех массивов друг на друга. Например, следующие директивы

```
!DVM$ DISTRIBUTE DQ1_DX (BLOCK, BLOCK, BLOCK)
!DVM$ ALIGN (i, j, k) WITH DQ1_DX(i, j, k) :: DQ2_DX, DQ3_DX
!DVM$ ALIGN (i, j, k) WITH DQ1_DX(2 * i, 2 * j, 2 * k) :: alambda
```

позволяют распределить трехмерный массив DQ1_DX равными блоками по всем трем измерениям и выровнять массивы DQ2_DX и DQ3_DX на массив DQ1_DX «один к одному» или так, чтобы элементы (i, j, k) массивов DQ2_DX и DQ3_DX располагались там же, где и элементы (i, j, k) массива DQ1_DX. Более интересное выравнивание массива alambda – элементы (i, j, k) массива alambda должны располагаться там же, где и элементы (2 * i, 2 * j, 2 * k) массива DQ1_DX. Данное распределение позволяет выровнять массив alambda, который по каждому измерению имеет в два раза меньшие размеры, чем массив DQ1_DX. Массивы, для которых не заданы правила распределения или выравнивания, считаются размноженными (присутствуют на каждом процессоре в виде полной копии).

После определения правил распределения и выравнивания, необходимо расставить директивы распределения вычислений PARALLEL во всех циклах, где используются распределенные массивы. С помощью полученной информации от САПФОР, можно расставить необходимые клаузы PRIVATE, REDUCTION и ACROSS в директиве PARALLEL. Для расстановки клаузы SHADOW_RENEW требуется проанализировать все операции чтения из распределенных массивов и определить, присутствуют ли обращения в нелокальные элементы распределенных массивов (удаленные обращения). Способ определения удаленных данных для параллельного цикла описан в примере на сайте DVM-системы [20].

После расстановки всех необходимых DVMH-директив, необходимо проверить их корректность с помощью динамического DVMH-отладчика. Для этого необходимо скомпилировать программу как параллельную в специальном режиме с отладочной информацией. После этого можно запустить полученную программу в отладочном режиме и получить диагностики в случае некорректной расстановки директивы PARALLEL с привязкой к циклу исходной программы. Данный инструмент позволяет определить корректность расстановки клауз к директиве PARALLEL. Всего в программе были распараллелены 63 цикла из 91.

И наконец, необходимо каждый параллельный цикл или группу подряд идущих параллельных циклов заключить в регион – область с одним входом и выходом, чтобы данные циклы DVMH-компилятор смог отобразить на графический процессор и на ядра центрального процессора. Для ГПУ также необходимо указать DVMH-директивы актуальности данных (ACTUAL, GET_ACTUAL), которые позволяют определить те данные, которые необходимо загрузить на ГПУ в случае выполнения на нем региона, и выгрузить с ГПУ в случае необходимой их модификации на ЦПУ.

5. Полученные результаты. Сравнение с ручным распараллеливанием

Оценка эффективности полученной DVMH-программы и параллельной программы с использованием технологии MPI выполнялась на суперкомпьютере K100 [21], имеющем процессоры Intel Xeon X5670 и ГПУ NVIDIA Tesla C2050 с архитектурой Fermi, и на сервере с процессором Intel Xeon E5 1660 v2 и ГПУ NVIDIA GeForce GTX Titan с архитектурой Kepler. Была произведена оценка слабой и сильной масштабируемостей. Использование графических ускорителей разных поколений при тестировании DVMH-программы позволяет оценить зависимость от ограничений архитектуры Fermi.

Каждый узел суперкомпьютера K100 содержит по два 6-ти ядерных процессора и три графических ускорителя. Два процессора связаны общей памятью (архитектура NUMA). В результате опытов было установлено, что на каждый узел для запуска DVMH-программы наиболее оптимально отображать два MPI процесса (по одному на каждый физический процессор), каждый из которых будет использовать 6 ядер ЦПУ и 1 ГПУ. Для запуска программы, написанной на MPI, на каждый узел отображалось 12 процессов. Для сравнения с программой, написанной только с использованием MPI, DVMH-программа была также запущена в режиме использования только MPI-процессов.

Как DVMH-программа, так и MPI-программа запускались с одинаковым количеством

используемых ядер, только DVMH-программа запускалась и в режиме использования только MPI-процессов, и в гибридных режимах MPI+OpenMP и MPI+OpenMP+CUDA. Для последнего режима применялись средства автоматической балансировки производительности между всеми ядрами ЦПУ и ГПУ внутри каждого процесса. В силу нестабильной работы узлов кластера соотношение весов между ЦПУ и ГПУ могут отличаться от узла к узлу. Так как количество итераций, которое необходимо выполнить для окончания расчета, зависит от размера входных данных, для корректного сравнения времени работы программы была выбрана метрика количества итераций в секунду. Общее время параллельного счета на одном узле рассматриваемого ниже размера задачи примерно 3 000 секунд.

Для замера слабой масштабируемости был выбран такой размер данных, при котором на каждое ядро приходится примерно по 2ГБ данных. Всего на один узел приходится примерно 24ГБ данных. Результаты слабой масштабируемости представлены в Таблице 1. На один узел приходится 2 ГПУ и 12 ядер ЦПУ. Всего было задействовано 480 ядер ЦПУ и 80 ГПУ (40 узлов кластера K100), размер задачи при этом составил примерно 1000ГБ. Из Таблицы 1 видно, что DVMH-программа не уступает по скорости выполнения программе с ручным распараллеливанием.

Таблица 1. Слабая масштабируемость – количество итераций в секунду

| Количество узлов | 1 | 2 | 3 | 4 | 5 | 6 | 7 | 8 | 10 | 20 | 40 |
|------------------------|------|------|------|------|------|------|------|------|------|------|------|
| DVMH (MPI) | 0.86 | 0.85 | 0.85 | 0.85 | 0.84 | 0.84 | 0.83 | 0.82 | 0.82 | 0.82 | 0.82 |
| DVMH (MPI/OpenMP) | 0.86 | 0.85 | 0.88 | 0.89 | 0.84 | 0.88 | 0.84 | 0.88 | 0.85 | 0.85 | 0.84 |
| DVMH (MPI/OpenMP/CUDA) | 1.56 | 1.53 | 1.53 | 1.50 | 1.51 | 1.49 | 1.51 | 1.51 | 1.50 | 1.48 | 1.49 |
| MPI-программа | 0.85 | 0.85 | 0.85 | 0.85 | 0.85 | 0.85 | 0.83 | 0.83 | 0.82 | 0.82 | 0.82 |

Разница между ручным распараллеливанием и DVMH-программой при использовании только ядер центрального процессора составляет не более 3% в пользу DVMH несмотря на то, что в MPI-программе используются асинхронные пересылки, а в DVMH-программе – синхронные. Использование асинхронных пересылок не дает преимуществ в данной программе, так как обмены между соседними процессами занимают очень маленькую долю времени (не более 10%) по сравнению со временем основного расчета. Также дополнительно сказываются наличие в MPI-программе барьерных синхронизаций, вычислений теневых граней, запуск асинхронных обменов и архитектура коммуникационной среды кластера K100.

Добавление графических процессоров в каждом процессе позволило ускорить DVMH-программу почти в 2 раза. На данной задаче основной вычислительный цикл имеет очень много вычислений. С помощью средств DVMH можно получить подробную статистику по использованию ресурсов ГПУ от компилятора NVidia с привязкой к циклам. Данная статистика показывает, что компилятор пытается использовать все ресурсы по максимуму. При использовании более новой архитектуры Kepler, в которой одна нить может использовать не 64 регистра, а 256 регистров, можно получить существенное ускорение DVMH-программы.

Результаты гибридных запусков с использованием разных ГПУ приведены в Таблице 2. Из Таблицы 2 видно, что при использовании разных процессоров производительность только процессорных ядер практически не отличается (20% в пользу более современного процессора). Но при задействовании более современного ГПУ дает возможность получить

Таблица 2. Сравнение двух поколений ГПУ – количество итераций в секунду

| Вариант запуска DVMH-программы | Производительность |
|--------------------------------|--------------------|
| DVMH (K100 OpenMP (6 ядер)) | 0.43 |
| DVMH (K100 GPU Fermi) | 0.34 |
| DVMH (Xeon E5 OpenMP (6 ядер)) | 0.52 |
| DVMH (Xeon E5 GPU Kepler) | 3.4 |

6.5 кратное ускорение по сравнению со всеми ядрами ЦПУ и 10 кратное ускорение по сравнению с ГПУ архитектуры Fermi. Также можно заметить, что совокупная производительность двух ГПУ и 12 ядер ЦПУ узла K100 в два раза ниже, чем производительность одного ГПУ архитектуры Kepler (см. Таблицу 1). Но несмотря на низкую производительность ГПУ в узле суперкомпьютера K100, с помощью автоматической балансировки между доступными ядрами и графическими ускорителями внутри узла, удается задействовать все доступные ресурсы.

Для оценки сильной масштабируемости была запущена задача на 1, 2, 4, 6 и 12 потоках 6-ти ядерного процессора Intel Xeon E5. Данные результаты представлены в Таблице 3. Из Таблицы 3 видно, что при использовании 12 потоков получается 100% эффективность использования ресурсов, если сравнивать с параллельной программой, выполненной на 1 потоке. Если сравнивать с последовательной программой, то эффективность при использовании 6 ядер составляет 96%.

Таблица 3. Сильная масштабируемость – количество итераций в секунду

| Количество потоков | 1 | 2 | 4 | 6 | 12 |
|----------------------------|------|------|------|------|------|
| DVMH (Xeon E5 OpenMP) | 0.08 | 0.15 | 0.31 | 0.45 | 0.52 |
| Последовательная программа | 0.09 | N | N | N | N |

6. Заключение

В данной работе были рассмотрены возможности применения систем САПФОР [14] и DVM [17] для автоматизации разработки параллельных программ на примере программы численного моделирования 3D сейсмических полей в упругих средах для областей со сложной геометрией свободной поверхности. Важной особенностью данной задачи является построения криволинейной 3D сетки, локально-ортогональной возле свободной поверхности, а также соблюдение правил ко-дизайна при проектировании последовательной версии алгоритма для последующего отображения полученной программы на параллельные архитектуры.

Благодаря такому подходу к проектированию стало возможным применение средств автоматизированного анализа и распараллеливания программы. С помощью средств САПФОР были получены результаты анализа, которые в дальнейшем позволили без особых усилий расставить директивы языка Fortran-DVMH. Помимо средств анализа были использованы встроенные средства анализа эффективности программ с помощью DVMH-интервалов, использовались средства динамической отладки DVMH-указаний для определения корректности расстановки всех директив в программе. В силу того, что программа

состоит более, чем из 4000 строк, ручная проверка DVMH-указаний очень затруднительна. Была использована сравнительная отладка между ЦПУ и ГПУ, чтобы убедиться в корректности сгенерированного DVMH-компилятором кода для графического процессора.

Проведенные тесты показали хорошие, почти линейные результаты сильной и слабой масштабируемостей работы как DVMH-программы, так и MPI-программы. DVMH-программа при прочих равных условиях не уступает MPI-программе. Можно сделать вывод, что разработанная с помощью инструментов САПФОР и DVM параллельная программа не уступает по эффективности программе с использованием MPI, и при этом позволяет эффективно использовать все доступные ресурсы вне зависимости от используемого кластера путем автоматической балансировки нагрузки, реализованной в системе поддержки DVMH. При этом размер исходной программы увеличился всего на 10 DVMH-директив распределения данных и 20 DVMH-директив распределения вычислений. Также реализованную DVMH-программу можно одинаково эффективно отобразить на разные архитектуры, в том числе и на Intel Xeon Phi без каких-либо модификаций исходного кода программы.

Рассмотренные инструменты для автоматизации распараллеливания могут существенно снизить трудозатраты на получение эффективных программ, которые способны отображаться на различные архитектуры, а так же помочь в разработке и оптимизации масштабируемых алгоритмов для вычислительных систем экзафлопсного уровня.

Исходные коды разработанных программ доступны по ссылке [22].

Литература

1. Глинский Б.М., Караваев Д.А., Ковалевский В.В., Мартынов В.Н. Численное моделирование и экспериментальное исследование грязевого вулкана "Гора Карабетова" выбросейсмическими методами // Вычислительные методы и программирование. 2010. Том 11. С. 95-104
2. R.W. Graves Simulating seismic wave propagation in 3D elastic media using staggered grid finite differences // Bulletin of the Seismological Society of America. 1996. Vol.86(4). P. 1091-1106
3. Virieux J. P-SV wave propagation in heterogeneous media: Velocity-stress finite-difference method // Geophysics. 1986. Vol. 51. No. 4, P. 889-901
4. Levander A.R. Fourth-order finite-difference P-SV seismograms // Geophysics. 1988. Vol. 53. Issue 11. P. 1425-1436
5. Лисейкин В.Д. Разностные сетки. Теория и приложения // Издательство СО РАН, 2014, 254 стр.
6. Хакимзянов Г.С., Шокин Ю.И. Разностные схемы на адаптивных сетках // Редакционно-издательский центр НГУ, 2005, 130 стр.
7. Шокин Ю.И., Данаев Н.Т., Хакимзянов Г.С., Шокина Н.Ю. Лекции по разностным схемам на подвижных сетках // Редакционно-издательский центр КазНУ им. аль-Фараби, 183 стр.
8. Daniel Appelo, N. Anders Petersson A Stable Finite Difference method for the Elastic wave equation on complex geometries with free surfaces // Communications in Computational Physics. 2009. Vol.5, No. 1, P. 84-107
9. Dimitri Komatitsch, Gordon Erlebacher, Dominik Goddeke, David Michea High-order finite-element seismic wave propagation modeling with MPI on a large GPU cluster // Journal of Computational Physics. 2010 Vol. 229, Issue 20. P. 7692-7714

10. Karavaev D.A., Glinsky B.M., Kovalevsky V.V. A technology of 3D elastic wave propagation simulation using hybrid supercomputers // CEUR Workshop Proceedings 1st Russian Conference on Supercomputing Days 2015. Vol. 1482. 2015. P. 26-33
 11. Intel Parallel Studio. URL: <http://software.intel.com/en-us/intel-parallel-studio-home> (дата обращения 15.11.2016)
 12. Liao S., Diwan A., Bosch R., Ghuloum A., Lam M. Suif Explorer: an Interactive and Interprocedural Parallelizer // Proceedings of the ACM SIGPLAN Symposium on Principles and Practice of Parallel Programming. 1999. P. 37-48
 13. Sudhakar Sah, Vinay G. Vaidya Review of Parallelization Tools and Introduction to Easypar // International Journal of Computer Applications. Vol. 56, No. 12. 2012. P. 17-29
 14. Бахтин В.А., Бородич И.Г., Катаев Н.А., Клинов М.С. Ковалева Н.В., Крюков В.А., Поддерюгина Н.В. Диалог с программистом в системе автоматизации распараллеливания САПФОР // Вестник Нижегородского университета им. Н.И. Лобачевского. – Н. Новгород: Изд-во ННГУ, №5 (2), 2012. С. 242– 245.
 15. Юрушкин М.В., Петренко В.В., Штейнберг Б.Я., Алымова Е.В.,Абрамов А.А., Баглий А.П., Гуда С.А., Дубров Д.В., Кравченко Е.Н., Морылев Р.И., Нис З.Я., Полуян С.В., Скиба И.С., Шаповалов В.Н., Штейнберг О.Б., Штейнберг Р.Б. Диалоговый высокоуровневый оптимизирующий распараллеливатель (ДВОР) // Труды Международной суперкомпьютерной конференции “Научный сервис в сети Интернет: суперкомпьютерные центры и задачи”, Новороссийск, сентябрь 2010 г., – М.: Изд-во МГУ, 2010. С. 71-75.
 16. ParaWise – Widening Accessibility to Efficient and Scalable Parallel Code. // Parallel Software Products White Paper WP-2004-01, 2004.
 17. Коновалов Н.А., Крюков В.А., Михайлов С.Н., Погребцов А.А. Fortran DVM - язык разработки мобильных параллельных программ», Ж. "Программирование № 1, 1995, С. 49-54.
 18. Бахтин В.А., Клинов М.С., Крюков В.А., Поддерюгина Н.В., Притула М.Н., Сазанов Ю.Л. Расширение DVM-модели параллельного программирования для кластеров с гетерогенными узлами // Вестник Южно-Уральского государственного университета, серия "Математическое моделирование и программирование №18 (277), выпуск 12. Челябинск: Издательский центр ЮУрГУ, 2012. С. 82-92
 19. Катаев Н.А. Статический анализ последовательных программ в системе автоматизированного распараллеливания САПФОР // Вестник Нижегородского университета им. Н.И. Лобачевского, N5(2). Н. Новгород: Изд-во ННГУ, 2012. С. 359-366
 20. Пример распараллеливания программы в модели DVMH. URL: <http://dvm-system.org/ru/examples/> (дата обращения: 15.11.2016)
 21. Гибридный вычислительный кластер K-100 URL: <http://www.kiam.ru/MVS/resources/k100.html> (дата обращения: 15.11.2016)
 22. Исходные коды. URL: <https://bitbucket.org/dvm-system/elastic-wave-3d> (дата обращения: 25.01.2017)
-

Automated parallelization of a simulation method of elastic wave propagation in media with complex 3D geometry surface on high-performance heterogeneous clusters

N.A. Kataev¹, A.S. Kolganov^{1,2}, P.A. Titov³

Keldysh Institute of Applied Mathematics RAS¹, Lomonosov Moscow State University²,
Institute of Computational Mathematics and Mathematical Geophysics SB RAS³

The paper considers application of DVM and SAPFOR systems in order to automate mapping of 3D elastic waves simulation method on high-performance heterogeneous clusters. A distinctive feature of the proposed method is the use of a curved three-dimensional grid, which is consistent with the geometry of free surface. Usage of curved grids considerably complicates both manual and automated parallelization. Technique to map curved grid on a structured grid has been presented to solve this problem. The sequential program based on the finite difference method on a structured grid, has been parallelized using Fortran-DVMH programming language. Application of SAPFOR analysis tools simplified this parallelization process. The paper describes features of automated parallelization. Authors estimate efficiency and acceleration of the parallel program and compare performance of the DVMH-based program with a program obtained after manual parallelization using MPI programming technology.

Keywords: Automation of parallelization, heterogeneous computational cluster, incremental parallelization, elasticity, 3D modeling, curved grid, GPU, Xeon Phi

References

1. Glinskiy B.M., Karavaev D.A., Kovalevskiy V.V., Martynov V.N. Chislennoe modelirovanie i eksperimental'noe issledovanie gryazevogo vulkana "Gora Karabetova" vibroseismicheskimi metodami [Numerical modeling and experimental research of the "Karabetov Mountain" mud volcano by vibroseismic methods] // Vychislitel'nye metody i programmirovaniye [Numerical methods and programming]. 2010. Vol 11. P. 95-104,
2. R.W. Graves Simulating seismic wave propagation in 3D elastic media using staggered grid finite differences // Bulletin of the Seismological Society of America. 1996. Vol.86(4). P. 1091-1106
3. Virieux J. P-SV wave propagation in heterogeneous media: Velocity-stress finite-difference method // Geophysics. 1986. Vol. 51. No. 4, P. 889-901
4. Levander A.R. Fourth-order finite-difference P-SV seismograms // Geophysics. 1988. Vol. 53. Issue 11. P. 1425-1436
5. Liseykin V.D. Raznostnye setki, teoriya i prilozheniya [Difference grid, theory and applications] // Novosibirsk, FUE Publishing House SB RAS, 2014. 3254 p.
6. Khakimzyanov G.S., Shokin Yu.I. Raznostnye skhemy na adaptivnykh setkakh [Difference schemes on adaptive grids] // Redaktsionno-izdatel'skiy tsentr NGU, 2005. 130 p.
7. Shokin Yu.I., Danaev N.T., Khakimzyanov G.S., Shokina N.Yu. Lektsii po raznostnym skhemam na podvizhnykh setkakh [Lectures on the difference scheme on moving grids] // Editorial and Publishing Council Al-Farabi Kazakh National University, 183 p.

8. Daniel Appelo, N. Anders Petersson A Stable Finite Difference method for the Elastic wave equation on complex geometries with free surfaces // *Communications in Computational Physics*. 2009. Vol.5, No. 1, P. 84-107
9. Dimitri Komatitsch, Gordon Erlebacher, Dominik Goddeke, David Michea High-order finite-element seismic wave propagation modeling with MPI on a large GPU cluster // *Journal of Computational Physics*. 2010 Vol. 229, Issue 20. P. 7692–7714
10. Karavaev D.A., Glinsky B.M., Kovalevsky V.V. A technology of 3D elastic wave propagation simulation using hybrid supercomputers // *CEUR Workshop Proceedings 1st Russian Conference on Supercomputing Days 2015*. Vol. 1482. 2015. P. 26-33
11. Intel Parallel Studio. URL: <http://software.intel.com/en-us/intel-parallel-studio-home> (accessed 15.11.2016)
12. Liao S., Diwan A., Bosch R., Ghuloum A., Lam M. Suif Explorer: an Interactive and Interprocedural Parallelizer // *Proceedings of the ACM SIGPLAN Symposium on Principles and Practice of Parallel Programming*. 1999. P. 37-48
13. Sudhakar Sah, Vinay G. Vaidya Review of Parallelization Tools and Introduction to EasyPar // *International Journal of Computer Applications*. 2012. Vol. 56, No. 12. P. 17-29
14. Bahtin V.A., Borodich I.G., Kataev N.A., Klinov M.S., Kovaleva N.V., Krukov V.A., Podderugina N.V. Dialog s programmistom v sisteme avtomatizacii rasparallelivanija SAPFOR [Interaction with the programmer in the system for automation parallelization SAPFOR] // *Vestnik Nizhegorodskogo universiteta im. N.I. Lobachevskogo [Vestnik of Lobachevsky State University of Nizhni Novgorod]* No.5 (2). Nizhni Novgorod, Nizhni Novgorod State University Press, 2012. P. 242–245.
15. Jurushkin M.V., Petrenko V.V., Shtejnberg B.Ja., Alymova E.V., Abramov A.A., Baglij A.P., Guda S.A., Dubrov D.V., Kravchenko E.N., Morylev R.I., Nis Z.Ya., Polujan S.V., Skiba I.S., Shapovalov V.N., Shtejnberg O.B., Shtejnberg R.B. Dialogovyy vysokourovnevyy optimizirujushhij rasparallelivatel' (DVOR) [Interactive High-level Optimizing Parallelizer (IHOP). Nauchnyj servis v seti Internet: superkomp'yuternye centry i zadachi: Trudy Mezhdunarodnoj nauchnoj konferencii (Novorossiysk, 20–25 sentjabrja 2010 g.) [Scientific service on the Internet: supercomputer centers and tasks: Proceedings of the International Scientific Conference (Novorossiysk, Russia, September, 20–25, 2010)]. Moscow, Moscow University Press, 2010. P. 71–75
16. ParaWise – Widening Accessibility to Efficient and Scalable Parallel Code. // *Parallel Software Products White Paper WP-2004-01*, 2004.
17. Konovalov N.A., Krukov V.A, Mikhajlov S.N., Pogrebtsov A.A. Fortan DVM: a Language for Portable Parallel Program Development // *Programming and Computer Software*. 1995. Vol. 21, No. 1. P. 35–38
18. Bakhtin V.A, Klinov M.S., Krukov V.A., Podderugina N.V., Pritula M.N., Sazanov Yu.L. Rasshirenije DVM-modeli parallel'nogo programmirovaniya dlya klasterov s geterogennymi uzlami [Extension of the DVM-model of parallel programming for clusters with heterogeneous nodes] // *Vestnik Yuzho-Uralskogo gosudarstvennogo universiteta. Seriya "Matematicheskoe modelirovanie i programmirovanie"* [Bulletin of South Ural State University. Series: Mathematical Modeling, Programming & Computer Software] No. 18 (277). Issue 12. Chelyabinsk, Publishing of the South Ural State University, 2012. P 82–92.

19. Kataev N.A. Statischekij analiz posledovatel'nyx programm v sisteme avtomatizirovannogo rasparallelivaniya SAPFOR [Static analysis of sequential programs in the automatic parallelization environment SAPFOR] // Vestnik Nizhegorodskogo universiteta im. N.I. Lobachevskogo [Vestnik of Lobachevsky University of Nizhni Novgorod] No. 5(2). Nizhni Novgorod, Nizhni Novgorod State University Press, 2012. P. 359-366
20. Exmaple of program parallelization using DVMH-model. URL: <http://dvm-system.org/en/examples/> (accessed: 15.11.2016)
21. Gibridnyj vychislitel'nyj klaster K-100 [Heterogeneous computational cluster K100]. URL: <http://www.kiam.ru/MVS/resources/k100.html> (accessed: 15.11.2016)
22. Isходnye kody [Source code]. URL: <https://bitbucket.org/dvm-system/elastic-wave-3d> (accessed: 25.01.2017)